

Estrategias Evolutivas y Problema Inverso de las IFS

María Laura Ivanissevich¹, Paula Millado¹, Luis Sierpe¹ y Claudio Delrieux²

¹Univ. Nacional de la Patagonia Austral, L. de la Torre 1070, (9300) Río Gallegos,

²Universidad Nacional del Sur, Alem 1253, (8000) Bahía Blanca, ARGENTINA.

Voice: (54)(291)4595101 ext. 3381 — Fax: (54)(291)4595154 — e-mail:

claudio@acm.org

Resumen

El problema inverso de la IFS constituye un desafío aún sin resolver satisfactoriamente desde que su factibilidad teórica fuera demostrada por el teorema del collage. En este trabajo proponemos su solución automática por medio de algoritmos evolutivos y genéticos, los cuales, si bien no encuentran un collage exacto en tiempos satisfactorios, permiten aproximar con gran rapidez la imagen original lo suficientemente bien como para que el usuario, con pocos retoques finales, pueda encontrar el código IFS buscado para la imagen de entrada. Un problema central en este enfoque consiste en poder utilizar, evaluar y comparar diferentes estrategias evolutivas y genéticas, con vistas a encontrar una caracterización genérica de una estrategia que sea la más adecuada en la mayoría de los casos. Para poder realizar dicho estudio, se construyó una herramienta gráfica que permite testear las diferentes evoluciones producidas por estos algoritmos.

Palabras Clave: SISTEMAS DE FUNCIONES ITERADAS (IFS), PROGRAMACIÓN EVOLUTIVA, PROGRAMACIÓN GENÉTICA.

1 Introducción

Los sistemas de funciones iteradas (IFS) constituyen una manera de representar imágenes por medio de conjuntos fractales [1]. La factibilidad de representar imágenes con IFS se fundamenta en el Teorema del Collage, según el cual una imagen cualquiera

puede ser arbitrariamente aproximada por un atractor fractal adecuadamente representado por un IFS [3, 2]. Esta propiedad hace tentadora la idea de buscar un método de compresión de imágenes que encuentre el collage adecuado para cualquier imagen de entrada. Esto constituye el problema inverso del IFS. Sin embargo, la búsqueda exhaustiva de un IFS para aproximar una imagen dada está fuera de las posibilidades de los sistemas de cómputo actuales. Un IFS como el del helecho consta de 24 parámetros, por lo que encontrar sus respectivos valores por “fuerza bruta” requeriría un tiempo de cómputo imposible de cuantificar.

Las estrategias hasta ahora propuestas para solucionar esta dificultad son dos. Por un lado, es posible restringir el espacio de búsqueda a un subconjunto de las transformaciones afines, como se propone en la compresión fractal en bloques (CFB) [5, 7]. En la CFB se utiliza un conjunto relativamente grande de mapas entre segmentos de la imagen, utilizando escalas fijas, y rotaciones cuantizadas a cuartos de circunferencia. Por lo tanto, el espacio de búsqueda es relativamente pequeño para cada transformación. Los resultados obtenidos con la CFB poseen una buena relación de compromiso entre tiempo de cómputo, compresión resultante, y calidad final, aunque están evidentemente lejos de las posibilidades teóricas [6].

Por otro lado, es posible utilizar un mecanismo de búsqueda adaptativo, que tenga cierta inteligencia como para guiarse dentro del un subconjunto del espacio de búsqueda en el cual los resultados se acercan a la solución buscada. En este sentido se orienta este trabajo, en el cual intentamos resolver el problema inverso por medio de algoritmos evolutivos. Los algoritmos evolutivos constituyen un paradigma de optimización que se basan en un modelo de los mecanismos conocidos de la selección natural. En estas técnicas se trabaja con una *población* de individuos, cada uno de los cuales representa un punto específico en un espacio de potenciales soluciones al problema dado. La población es capaz de evolucionar hacia una solución óptima, por medio de un proceso de supervivencia de los individuos mejor adaptados (respecto de una función de adaptación), y la aplicación de un proceso de generación aleatoria de nuevos individuos por medio de operadores de mutación o cruzamiento.

Los esquemas mayoritariamente utilizados dentro de los algoritmos evolutivos son la programación evolutiva (PE) [11] y con la programación genética (PG) [9]. El uso de PE y PG para la solución del problema inverso ha sido mucho menos estudiado, pese a que permitiría obtener mejores compresiones, tal vez con mayores tiempos de cómputo, que la CFB. Al mismo tiempo, el problema inverso representa un caso interesante de estudio para comparar las diversas estrategias evolutivas y genéticas, combinarlas, y eventualmente proponer algunas nuevas [4, 8, 10, 12]. En este trabajo intentamos investigar y testear estrategias evolutivas que permitan resolver el problema inverso, en particular el uso de algoritmos evolutivos del tipo $(\mu + \lambda)$ para identificar las transformaciones contractivas asociadas con las estructuras autosimilares en la imagen dada. Se compara además el uso de una codificación geométrica de las transformaciones *vs.* una codificación ciega. Para obtener estos resultados se implementó un ambiente

gráfico que permite testear y comparar los resultados del uso de dichas estrategias, y evaluar numérica y visualmente los resultados que se van produciendo a lo largo de las generaciones.

2 Sistemas de funciones iteradas

Un sistema de funciones iteradas (IFS) consiste en una colección de transformaciones afines contractivas que mapea al plano \mathbb{R}^2 sobre sí mismo. Esta colección de transformaciones define un mapa

$$W(\cdot) = \bigcup_{i=1}^n w_i(\cdot).$$

Las transformaciones afines contractivas tienen la importante característica que cuando son aplicadas repetidamente, convergen a un punto fijo. El mapa W no es aplicado a todo el plano sino a un subconjunto, es decir, a una colección de puntos del plano. Dado un conjunto inicial S , podemos calcular $w_i(S)$ para cada i , tomar la unión de estos conjuntos y obtener un nuevo conjunto $W(S)$. W es un mapa en el espacio de los subconjuntos del plano.

Según el teorema de Hutchinson [2], cuando las transformaciones w_i son contractivas en el plano, entonces W es contractiva en el espacio (cerrado y acotado) de subconjuntos del plano. Por lo tanto, la iteración de un IFS converge a un único subconjunto del plano, el cual es un punto fijo del mapa W , denominado *atractor* A del IFS (ver Fig. 1).

Para la obtención del código IFS de una figura I arbitraria, se parte de una representación inicial aproximada de la silueta S del objeto que se desea modelar. La idea del método es buscar un grupo de mosaicos —copias transformadas de S — que en conjunto cubran la silueta original (Teorema del Collage [3]). Si por $d(I, J)$ denotamos la distancia de Hausdorff entre subconjuntos I y J del plano en una métrica adecuada, y r es la contractividad global de W , entonces el teorema del collage permite afirmar la desigualdad

$$d(A, I) \leq \frac{1}{1-r} d(I, \bigcup w_i(I)),$$

lo cual significa que la distancia entre la figura I y el atractor A del IFS está acotada por la distancia entre I y el cubrimiento determinado por W . A mejores cubrimientos, mejor aproximación a la imagen final.

Como ya mencionáramos, este cubrimiento hasta ahora no ha podido implementarse en forma automática, debiéndose trabajar con asistencia humana. A partir de la silueta S , son introducidas una a una copias reducidas de S , de modo de poder ir cubriéndola con sus copias transformadas. Cada copia podrá ser torcida, escalada, rotada o trasladada según convenga para lograr el propósito buscado. Es importante que

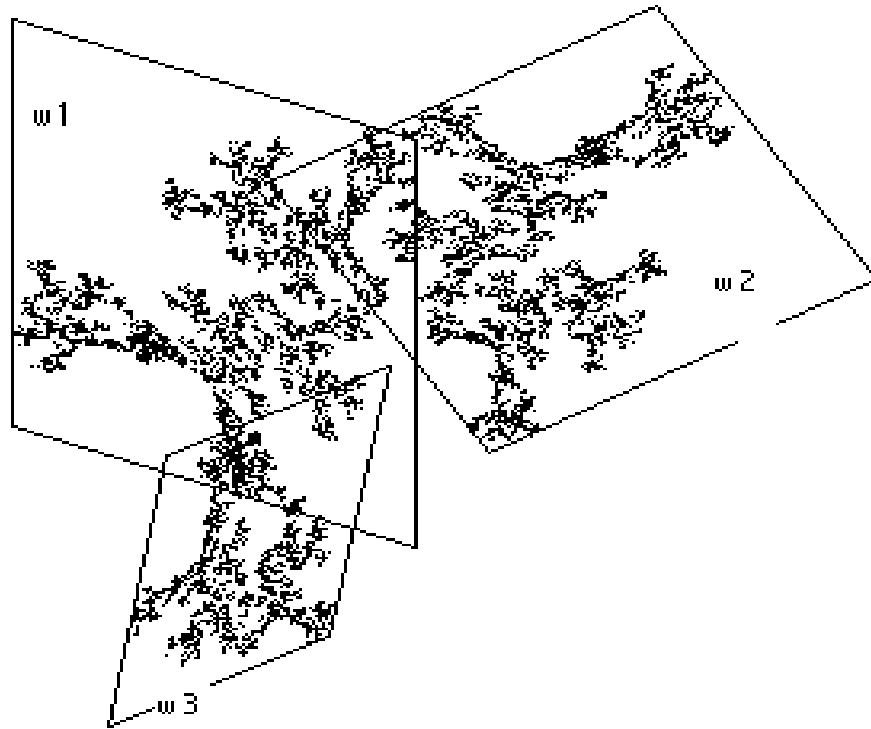


Figura 1: El atractor de un IFS con tres mapas (“coral”).

el tamaño de cada $w_n(S)$ sea menor que el de S para asegurar que cada transformación sea contractiva.

En otras palabras, para lograr la codificación se deben determinar un conjunto de transformaciones afines contractivas $\{w_1, w_2, \dots, w_n\}$ con la siguiente propiedad: La silueta original S y el conjunto

$$\tilde{S} = \bigcup_{n=1}^N w_n(S)$$

deben ser visualmente cercanos, siendo el número de transformaciones el menor posible. $w_n(S)$ es llamado el n -ésimo mosaico del collage. En la Figura 2 se muestra un atractor obtenido utilizando el procedimiento descripto.

Un algoritmo utilizado para generar el atractor o imagen a partir de las transformaciones, comienza con el código IFS $\{w_n, p_n : n = 1, 2, \dots, N\}$ junto con la ventana de graficación V de resolución $L \times M$. El algoritmo, denominado “juego del caos” [3], realiza una recorrida aleatoria del atractor del siguiente modo: parte de un punto inicial, escoge al azar un mapa w_n , y transforma el punto mediante este mapa, obteniendo las coordenadas de un pixel. Este pixel es graficado, y su punto correspondiente es luego sometido al mismo proceso, y así una cantidad predefinida de iteraciones.

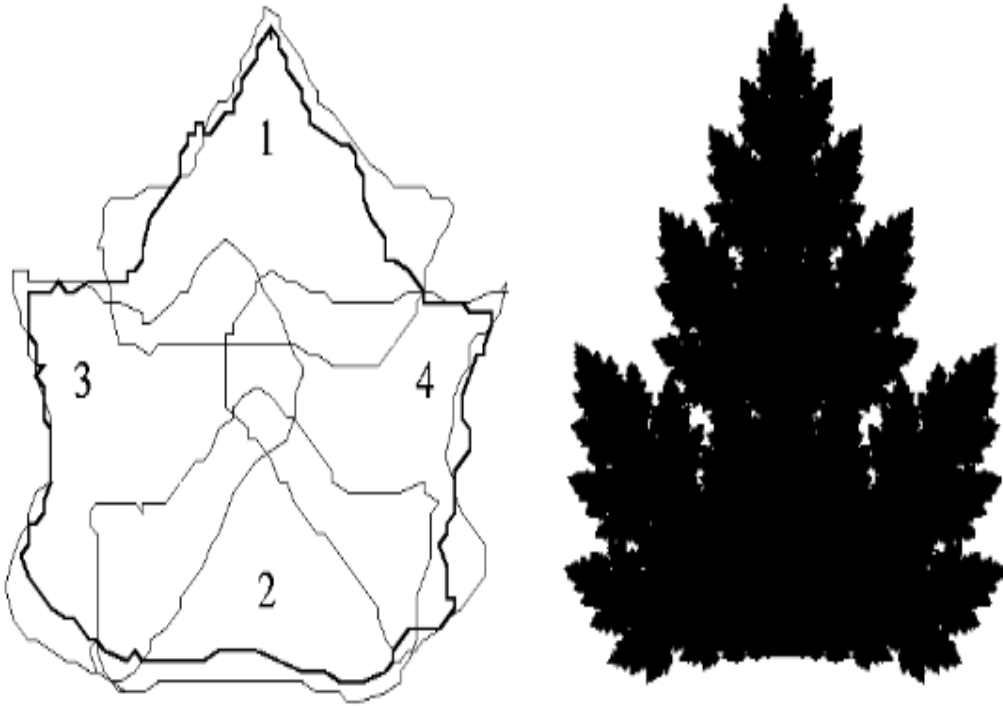


Figura 2: Cubrimiento de una hoja para la obtención de los códigos IFS y atractor que se logra con ellos (gentileza Andrés Repetto).

3 Estrategias evolutivas y genéticas

La programación evolutiva (PE) y la programación genética (PG) son técnicas bien conocidas que surgen de imitar lo que conocemos de la evolución natural. La PE y la PG se utilizan, entre otros contextos, para resolver problemas que con los métodos de Inteligencia Artificial de alto nivel tradicionales (búsqueda heurística, lógica, etc.) son o bien intratables o bien imprácticos.

Las ideas principales provienen de una metáfora de la evolución natural, en la cual existen individuos (fenotipos) que expresan una información genética (genotipo), y además están sujetos a la presión evolutiva del medio (fitness). Los individuos más exitosos (con mejor fitness) ven aumentadas sus posibilidades reproductivas, generando nuevos individuos con su mismo genotipo. Sin embargo, en el proceso reproductivo ocurre el fenómeno distintivo de la evolución natural: la aparición de mutaciones al azar.

Este mismo esquema dinámico, con un sinnúmero de variaciones, ha sido desarrollado para diversas aplicaciones. En este trabajo veremos cómo el problema inverso de la IFS puede resolverse por medio de estrategias evolutivas y genéticas. Supongamos la existencia de una población con μ ancestros, cuyo genotipo \bar{g}_i se encuentra codificado

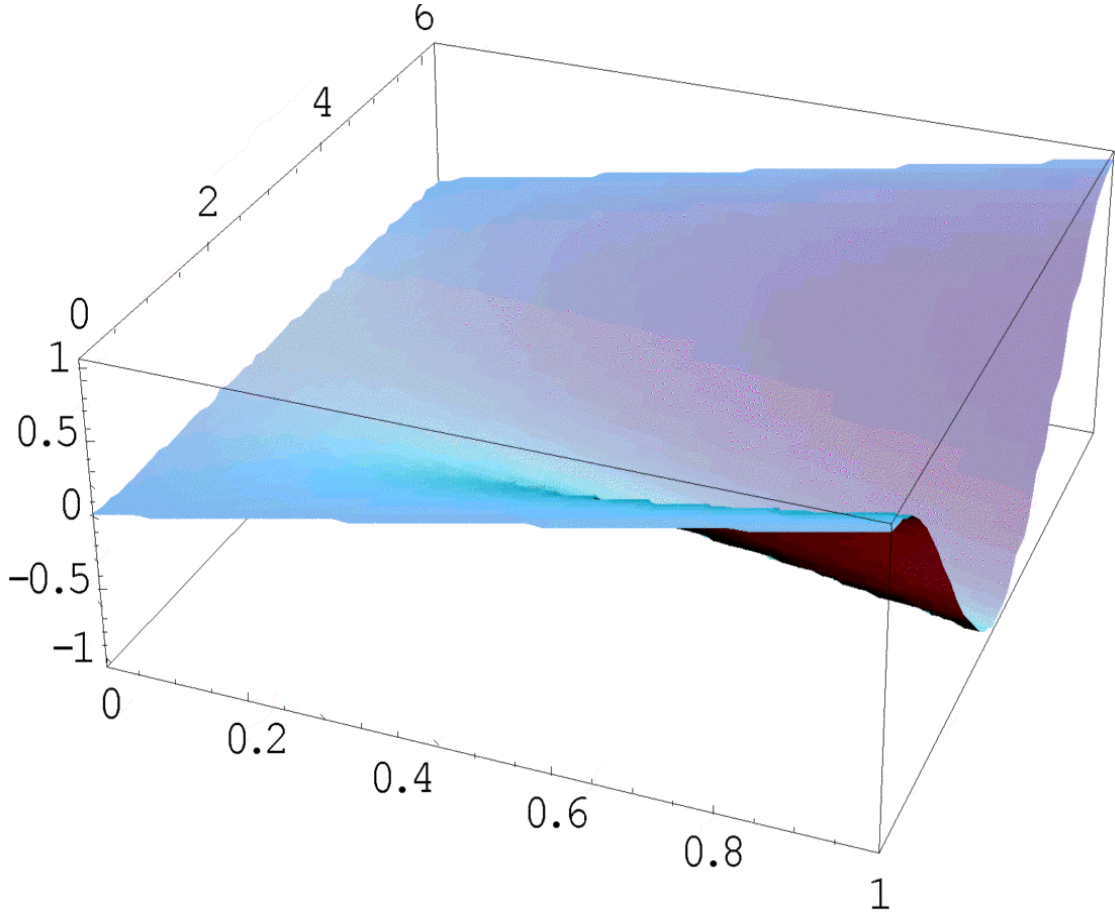


Figura 3: Función $a = f(r_1, \theta_1)$.

con números. Entonces se crea un conjunto λ de descendientes siguiendo el esquema

$$\bar{p}_i = (\bar{g}_i, \bar{\sigma}_i) \xrightarrow{\text{mut}} (\bar{g}_i + n_0(\bar{\sigma}_i), \alpha(\bar{\sigma}_i)),$$

donde $n_0(\bar{\sigma}_i)$ denota la elección de un número de una aleatoria normal con media cero y variancia σ_i . α define una función de adaptación, la cual puede ser la distancia de Hamming entre el atractor A del IFS resultante y la imagen I de entrada.

En nuestro caso, \bar{g}_i representa los parámetros de la IFS W que estamos tratando de encontrar. Cada mapa w_k requiere seis reales para su objetivo:

$$w_k(x, y) = \begin{pmatrix} a_k & b_k \\ c_k & d_k \end{pmatrix} \begin{pmatrix} x \\ y \end{pmatrix} + \begin{pmatrix} e_k \\ f_k \end{pmatrix} \quad (1)$$

$$= \begin{pmatrix} r_{1k} \cos \theta_{1k} & -r_{2k} \sin \theta_{1k} \\ r_{1k} \sin \theta_{2k} & r_{2k} \cos \theta_{2k} \end{pmatrix} \begin{pmatrix} x \\ y \end{pmatrix} + \begin{pmatrix} e_k \\ f_k \end{pmatrix} \quad (2)$$

En general, la expresión 2 es preferible a la 1 por tener un significado geométrico más intuitivo. Por lo tanto, \bar{g}_i representará las n sextuplas $(r_{1k}, r_{2k}, \theta_{1k}, \theta_{2k}, e_k, f_k)$, $k \in$

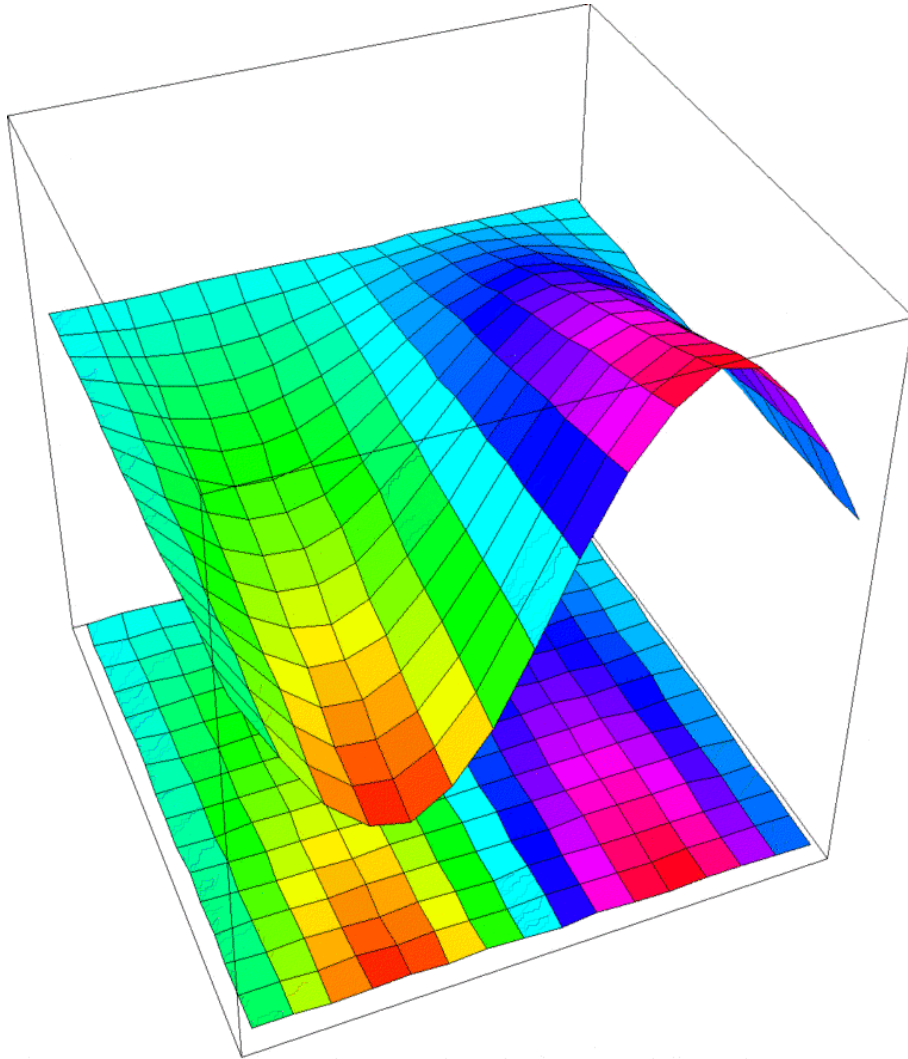


Figura 4: Función $b = f(r_2, \theta_2)$.

[1..n] en un determinado individuo de una generación. Como estrategia híbrida se puede introducir, además de la mutación, el *crossover* o cruzamiento entre el genotipo de dos ancestros para obtener el genotipo del sucesor. En las Figs. 3 y 4 se pueden ver las funciones de adaptación utilizadas entre códigos.

Para evitar los mínimos locales, y quedar atrapado en un “nicho ecológico”, la estrategia mantiene una diversidad genotípica seleccionando un grupo numeroso de individuos con la mejor adaptación. Entre estas técnicas de *niching* podemos contar el *fitness sharing* (escalar el fitness en un entorno de cada individuo), el *crowding* (reemplazar al padre más cercano del individuo recientemente creado), y el *clustering* o agrupamiento, la cual resulta ser la más eficiente en la práctica.

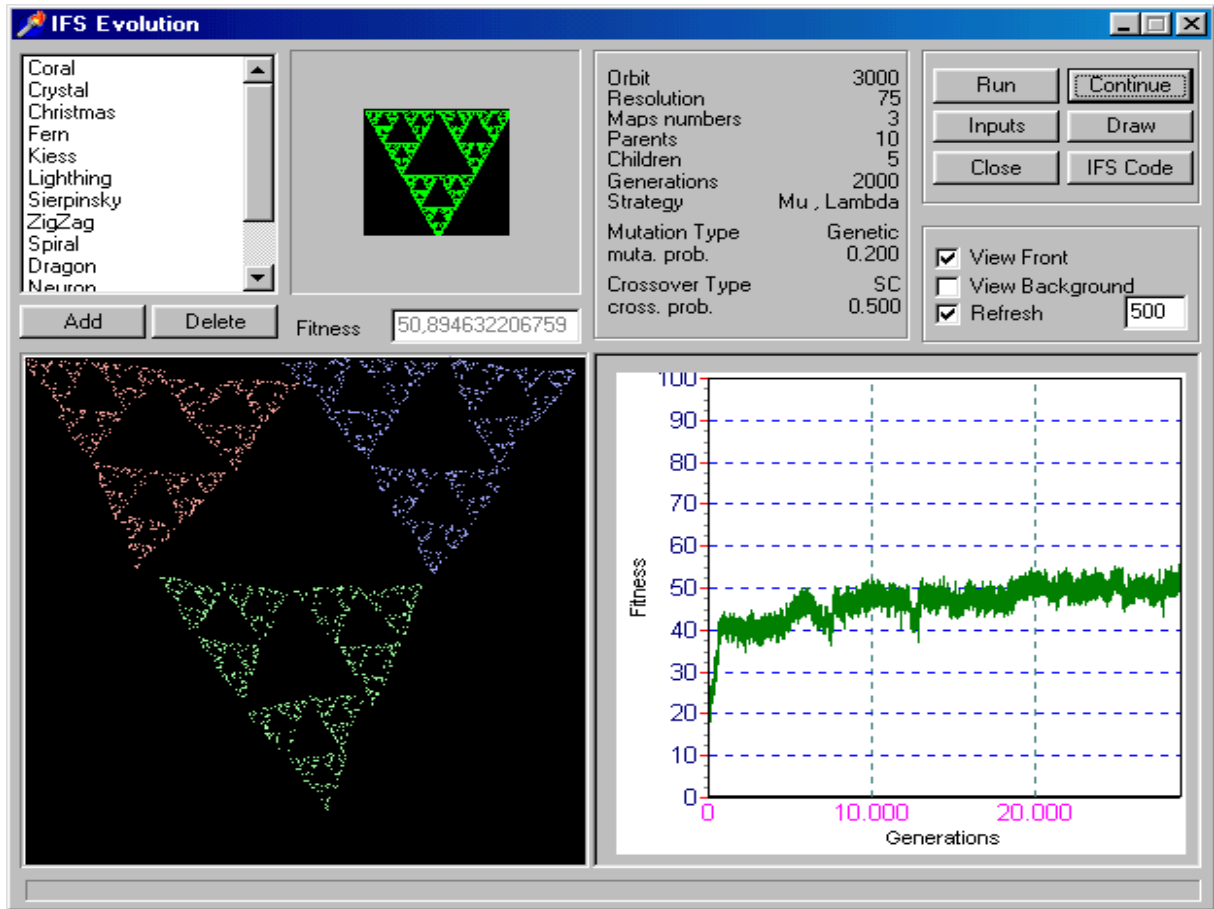


Figura 5: La interfase del sistema, mostrando la convergencia evolutiva de un conjunto de transformaciones al atractor de la imagen inicial.

4 Implementación de un ambiente para testear estrategias

Una vez definido el propósito y la metodología de trabajo, se implementó un prototipo en el lenguaje Matlab para testear el funcionamiento de los algoritmos y la eficacia de las estrategias. Luego, para contar con una implementación más adecuada en velocidad y capacidad de cómputo, se reescribió el programa en el lenguaje visual Delphi, construyéndose un ambiente gráfico para testear y evaluar las diferentes estrategias. En la Fig. 5 es posible observar la interfase gráfica del sistema. Se puede observar abajo a la izquierda el atractor resultante, y abajo a la derecha, la curva que muestra la evolución del *fitness* del atractor a lo largo de las generaciones. Los controles de la parte superior izquierda permiten elegir un conjunto de imágenes de entrada, para testear el correcto funcionamiento en varios casos, mientras que los controles a la derecha permiten controlar la ejecución del sistema, modificar los parámetros, las diversas estrategias, etc.

La implementación en una herramienta como Delphi permitió migrar con cierto trabajo el prototipo original, pero con el beneficio de la velocidad de cómputo, la flexibilidad del uso de las componentes visuales, y otras posibilidades importantes. En la Fig. 5 se pueden ver los parámetros de la simulación realizada. Se realizaron 2000 generaciones, a 3000 órbitas por generación, con 3 transformaciones por genotipo, 10 antecesores y 5 sucesores. El tiempo total en un equipo PC standard fue de menos de dos minutos. Una utilidad muy importante de esta implementación es la posibilidad de capturar animaciones que muestren todo el proceso evolutivo. De esa manera es posible determinar los momentos y el éxito relativo de determinadas estrategias durante la simulación. Es posible observar algunas de estas animaciones en www.lip.uns.edu.ar/evo.

5 Conclusiones

En este trabajo presentamos un conjunto de estrategias evolutivas híbridas para resolver el problema inverso del IFS. Estas estrategias están implementadas en una herramienta gráfica que permite el testeo y evaluación de diferentes estrategias, y de esa forma determinar sus ventajas relativas. Uno de los puntos centrales fue introducir, además de la mutación, una operación híbrida de *crossover*. Para evitar la aparición de mínimos locales, se mantiene en cada generación una alta diversidad genotípica, eligiendo una considerable cantidad de la población mejor ajustada.

La herramienta computacional es lo suficientemente flexible y versátil como para poder plantear experimentos y observar los resultados con bastante facilidad. La posibilidad de guardar animaciones del proceso selectivo es fundamental para poder determinar las razones del éxito o fracaso de una determinada estrategia en cada caso particular. Los algoritmos aquí mostrados permiten encontrar rápidamente muy buenas aproximaciones en tiempos razonables (aunque para acercarse al collage ideal se requieren tiempos muy altos). Por lo tanto, es posible afirmar que esta forma de considerar el problema inverso es competitiva con respecto a las otras alternativas, por lo que se continúa estudiando y experimentando con otras estrategias híbridas.

Referencias

- [1] M. Barnsley and S. Demko. Iterated function systems and the global construction of fractals. *Proc. Roy. Soc. London*, A399:243–275, 1985.
- [2] M. Barnsley, A. Jacquin, and F. Malassenet. Harnessing Chaos for Image Synthesis. *ACM Computer Graphics*, 22(3):131–14, 1988.
- [3] M. F. Barnsley. *Fractals Everywhere*. Academic Press, Boston, 1988.

- [4] A. Evans and M. Turner. Specialisation of Evolutionary Algorithms and Data Structures for the IFS Inverse Problem. In *Proceedings of the Second IMA Conference on Image Processing: Mathematical Methods, Algorithms and Applications*, pages 70–81, 1998.
- [5] Yuval Fisher, editor. *Fractal Image Compression: Theory and Application*. Springer-Verlag, New York, NY, USA, 1995.
- [6] Yuval Fisher, editor. *Fractal Image Encoding and Analysis*, volume 159 of *NATO ASI Series. Series F: Computer and Systems Sciences*. Springer-Verlag, New York, NY, USA, 1997.
- [7] Arnaud E. Jacquin. Image Coding Based on a Fractal Theory of Iterated Contractive Image Transformations. In Murat Kunt, editor, *Visual Communications and Image Processing '90*, volume 1360 of *SPIE Proceedings*, pages 227–239, Lausanne, Switzerland, October 1990.
- [8] E. Lutton. Mixed IFS - Resolution of the Inverse Problem using Genetic Programming. Technical Report Rapport 2631, INRIA, 1995.
- [9] Z. Michalewicz. *Genetic Algorithms + Data Structures = Evolution Programs*. Springer-Verlag, second edition, 1994.
- [10] D.Ñettleton and R. Garigliano. Evolutionary Algorithms and a Fractal Inverse Problem. *Biosystems*, 33:221–231, 1994.
- [11] I. Rechenberg. *Evolution strategie: Optimierung technischer systeme nach prinzipien der biologischen evolution*. Frommann-Holzboog, 1973.
- [12] R. Shonkwiler, F. Mendivil, and A. Deliu. Genetic Algorithms for the 1-D Fractal Inverse Problem. In *Proceedings of the Fourth International Conference on Genetic Algorithms*, pages 495–501, Los Altos, CA, 1995. Morgan Kaufmann Publishers.